

## Дифракция на клиновидном препятствии в присутствии отражающего слоя

П.Н. Дагуров

Отдел физических проблем Бурятского научного центра

E-mail: [dpn@pres.bscnet.ru](mailto:dpn@pres.bscnet.ru)

Предложена модель распространения радиоволн на трассе с клиновидным препятствием и отражающим слоем с использованием методов геометрической оптики и геометрической теории дифракции. Приведены расчетные результаты.

### Введение

На закрытых приземных трассах основными механизмами распространения УКВ являются дифракция вокруг земной поверхности и переизлучение волн неоднородностями диэлектрической проницаемости тропосферы. Как правило, влияние земной поверхности и тропосферных неоднородностей, при расчете загоризонтного распространения учитывается раздельно. Между тем, очевидно, что наиболее адекватным реальной ситуации должен являться совместный учет влияния обоих механизмов распространения. Это особенно относится к промежуточной зоне теневой области, где дифракционная и тропосферная компоненты соизмеримы по амплитуде и их интерференция может приводить как к аномально высоким уровням поля, вызывающим ухудшение условий электромагнитной совместимости радиосредств, так и к глубоким замираниям сигнала. В данной работе рассматривается задача о распространении радиоволн на трассе с клиновидным препятствием, когда над препятствием находится отражающий тропосферный слой. Элементарные оценки показывают, что на закрытых трассах в присутствии тропосферного слоя, обусловленного скачком диэлектрической проницаемости, отраженное поле может быть соизмеримо с дифракционным. Приведенные ранее расчеты относятся либо к случаю, когда рассматривается дифракция вокруг гладкой земной поверхности, либо дифракционное поле на трассах с резко выраженными препятствиями сопоставляется со средним уровнем поля дальнего тропосферного распространения, полученным из обобщения экспериментальных данных [1,2]. Поэтому возникает необходимость учета совместного действия обоих механизмов распространения на результирующий сигнал в месте приема.

### Теория

Пусть между источником  $A$  сферической волны и точкой наблюдения  $P$  находится клиновидное непрозрачное препятствие, над которым расположен отражающий тропосферный слой (рис. 1). Будем полагать, что удаления источника, края препятствия и приемника от границы раздела много больше длины волны. Тогда для решения задачи можно воспользоваться такими высокочастотными асимптотическими методами, как геометрическая оптика (ГО) и геометрическая теория дифракции (ГТД) [3].

На рис. 1 показаны геометрооптические и дифракционные лучи, возникающие в данной задаче. Результирующее поле в точке, согласно ГО и ГТД, имеет вид:

$$U(P) = U_1 \chi(\pi - \alpha) + U_{23} \chi[(\pi - \alpha_1)(\pi - \alpha_2)] + U_{47} + U_{567} + U_{489} + U_{5689}, \quad (1)$$

где  $\chi(t)$  – единичная функция Хевисайда, индексы показывают последовательный путь лучей.

Поле  $U_1$  соответствует прямому лучу  $AP$ . Согласно ГО, он отсутствует, когда точка  $P$  находится в теневой области препятствия, что учтено введением функции Хевисайда  $\chi$ . Луч  $23$  – это отраженный луч, который отсутствует, когда точка  $P$  находится в тени относительно зеркального изображения источника  $A$ , либо изображение приемника  $P$  находится в тени относительно источника  $A$ . Это обстоятельство учтено умножением поля  $U_2$  на функцию Хевисайда, аргументом которой является комбинация углов  $\alpha_1$  и  $\alpha_2$ .

Обозначив через  $r_j$  длину  $j$ -го луча, получим для прямого поля:

$$U_1 = \frac{e^{ikr_1}}{r_1}, \quad (2)$$

где  $k$  – волновое число в среде, расположенной ниже слоя.

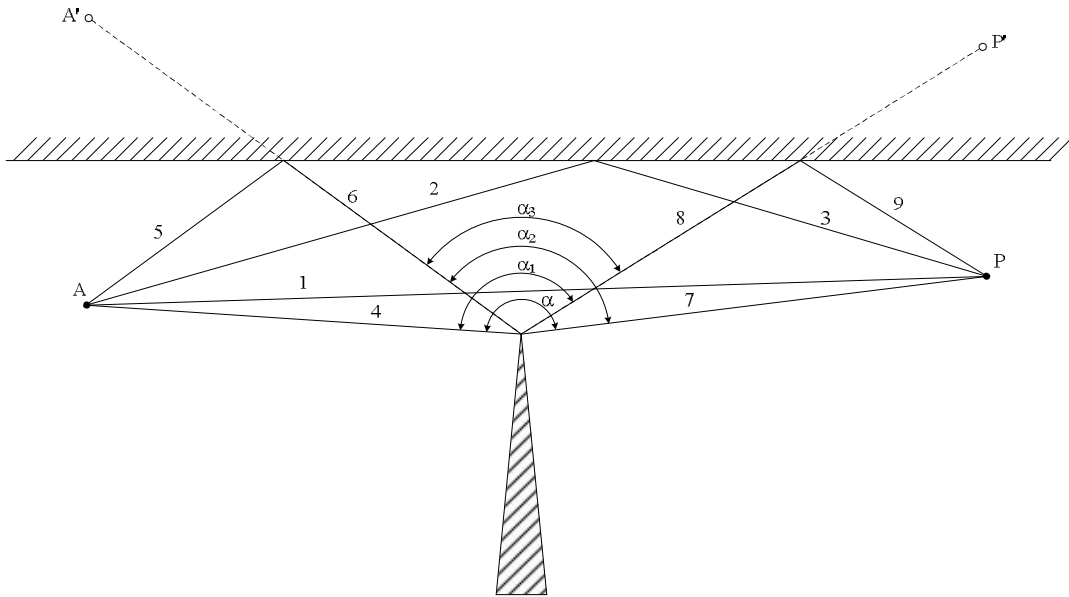


Рис. 1. Геометрия задачи.

Поскольку отражающую поверхность считаем плоской, то отраженная волна, согласно приближению ГО, имеет вид:

$$U_{23} = R \frac{e^{ik(r_2+r_3)}}{r_2+r_3}, \quad (3)$$

где  $R$  – коэффициент отражения. Так как поле вблизи отражающей поверхности является локально плоским, полагаем, что этот коэффициент равен френелевскому коэффициенту отражения для плоской волны.

Поле  $U_{47}$  – это прямое дифрагированное на крае препятствия поле. Для нахождения его воспользуемся результатами равномерной ГТД, которая позволяет описывать поля в переходных областях вблизи границ «свет-тень» [4]. Согласно ГТД, дифракционное поле в месте приема имеет следующий вид:

$$U_d = U_0 D A(S) e^{ikS}, \quad (4)$$

где  $U_0$  – падающее поле в той точке, из которой выходит дифракционный луч,  $S$  – эйконал дифракционного луча,  $A(S)$  описывает изменение амплитуды поля вдоль дифракционного луча. Для плоской и цилиндрической волны:

$$A(S) = \frac{1}{\sqrt{S}},$$

для сферической волны:

$$A(S) = \sqrt{\frac{S'}{[S(S'+S)]}},$$

где  $S'$  – расстояние от источника до дифрагирующего края. В формуле (4) множитель  $D$  является коэффициентом дифракции. Равномерный коэффициент дифракции на идеально проводящей полуплоскости получен в работе [4]. Для случая, когда угол дифракции мал или угол  $\alpha$  близок к  $\pi$ , его можно записать в виде (пренебрегая слагаемым, связанным с отраженной от препятствия волной):

$$D = -\sqrt{\frac{S'S}{(S'+S)}} \exp\left(-i\frac{\pi}{4} - i2kL \cos^2 \frac{\alpha}{2}\right) \times \\ \times F\left(\sqrt{2kL} \left|\cos^2 \frac{\alpha}{2}\right.\right) \operatorname{sgn}(\pi - \alpha), \quad (5)$$

где  $L = \frac{S'S}{[(S'+S)\sin^2 \beta_0]}$ ,  $\beta_0$  – угол между плоскостью препятствия и падающим лучом,

$F(x) = \int_x^\infty e^{it^2} dt$  – интеграл Френеля.

Учитывая, что в данном случае  $S' = r_4$ ,  $S = r_7$ ,  $\beta_0 \approx \pi/2$ , из формул (4) и (5) получим:

$$U_{47} = \frac{\exp[ik(r_4 + r_7)]}{\sqrt{\pi}(r_4 + r_7)} \exp\left(-i\frac{\pi}{4} - i\frac{2kr_4 r_7}{r_4 + r_7} \cos^2 \frac{\alpha}{2}\right) \times \\ \times F\left(\sqrt{\frac{2kr_4 r_7}{r_4 + r_7}} \left|\cos^2 \frac{\alpha}{2}\right.\right) \operatorname{sgn}(\alpha - \pi). \quad (6)$$

Отметим, что в данном малоугловом приближении поле, полученное с использованием ГТД, практически совпадает с полем, рассчитанным на основе теории дифракции Кирхгофа – Френеля.

Поле  $U_{567}$ , испытывающее вначале отражение от слоя, а затем дифракцию на крае, можно с учетом формул (3) – (5) представить в виде:

$$U_{567} = R_1 \frac{\exp[ik(r_5 + r_6 + r_7)]}{\sqrt{\pi}(r_5 + r_6 + r_7)} \exp\left(-i\frac{\pi}{4} - i\frac{2k(r_5 + r_6)r_7}{r_5 + r_6 + r_7} \cos^2 \frac{\alpha_1}{2}\right) \times \\ \times F\left(\sqrt{\frac{2k(r_5 + r_6)r_7}{r_5 + r_6 + r_7}} \left|\cos \frac{\alpha_1}{2}\right.\right) \operatorname{sgn}(\alpha_1 - \pi), \quad (7)$$

где  $R_1$  – коэффициент отражения луча 5 от границы слоя.

Аналогично получим:

$$U_{489} = R_2 \frac{\exp(i r_4 + r_8 + r_9)}{\sqrt{\pi}(r_4 + r_8 + r_9)} \exp\left(-i\frac{\pi}{4} - i\frac{2kr_4(r_8 + r_9)}{r_4 + r_8 + r_9} \cos^2 \frac{\alpha_2}{2}\right) \times \\ \times F\left(\sqrt{\frac{2kr_4(r_8 + r_9)}{r_4 + r_8 + r_9}} \left|\cos \frac{\alpha_2}{2}\right.\right) \operatorname{sgn}(\alpha_2 - \pi); \quad (8)$$

$$U_{5689} = -R_1 R_2 \frac{\exp(r_5 + r_6 + r_8 + r_9)}{\sqrt{\pi}(r_5 + r_6 + r_8 + r_9)} \exp\left(-i\frac{\pi}{4} - i\frac{2k(r_5 + r_6)(r_8 + r_9)}{r_5 + r_6 + r_8 + r_9} \cos^2 \frac{\alpha_3}{2}\right) \times \\ \times F\left(\sqrt{\frac{2k(r_5 + r_6)(r_8 + r_9)}{r_5 + r_6 + r_8 + r_9}} \left|\cos \frac{\alpha_3}{2}\right.\right), \quad (9)$$

так как всегда выполняется неравенство  $\alpha_3 < \pi$ .

Таким образом, получены явные выражения для полей, входящих в формулу (1). Подставляя их в данную формулу, найдем результирующее поле.

Отметим, что формула (1) записана без учета волн вторичных отражений и дифракций, поскольку предполагается, что расстояние между краем препятствия и слоем велико по сравнению с длиной волны.

### Результаты расчета

Для численных оценок был проведен расчеты множителя ослабления поля  $V=U(P)/U_1$  для простого случая, когда слой представляет собой полупространство, т.е. отражающей

поверхностью является граница раздела двух полупространств с диэлектрическими проницаемостями  $\varepsilon = 1$  и  $\varepsilon = 1 + \Delta\varepsilon$  с  $\Delta\varepsilon \ll 1$ . В этом случае коэффициент отражения от слоя независимо от поляризации волны описывается формулой

$$R = \frac{\sin \alpha - \sqrt{\Delta\varepsilon + \sin^2 \alpha}}{\sin \alpha + \sqrt{\Delta\varepsilon + \sin^2 \alpha}},$$

где  $\alpha$  – угол скольжения волны.

Для примера приведены результаты расчета для трассы длиной 50 км с клиновидным препятствием, расположенным посередине трассы. Длина волны равна 10 см. На рис. 2 – 4 показаны результаты при различных значениях высоты препятствия  $H$  над линией АР в зависимости от расстояния между границей раздела и краем препятствия  $H_C$ .

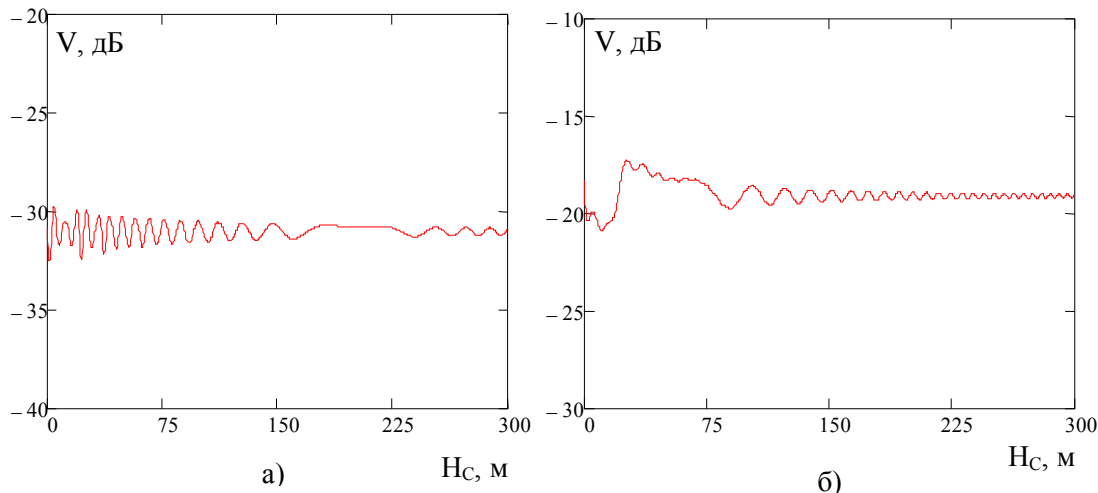


Рис. 2. Зависимость множителя ослабления от высоты слоя над краем препятствия при  $\Delta\varepsilon = 10^{-6}$ . а)  $H = 50$  м, б)  $H = 200$  м.

На рис. 2 представлены зависимости, полученные для  $\Delta\varepsilon = 10^{-6}$  и  $H = 50$  м и 200 м. Из них следует, что при таком скачке  $\Delta\varepsilon$  влияние отражений от границы раздела на результирующее поле невелико. Вследствие малости величины  $\Delta\varepsilon$  изменение ее знака не влияет на результаты. Иная картина наблюдается при более интенсивном скачке диэлектрической проницаемости, равном  $10^{-5}$  и  $H = 50$  м (рис. 3). Здесь во-первых, дифракционное поле и поле, отраженное от слоя, становятся при определенных высотах слоя соизмеримы друг с другом, что вызывает значительные интерференционные изменения уровня результирующего поля. Во-вторых, в отличие от положительного скачка диэлектрической проницаемости (рис. 4), при  $\Delta\varepsilon = -10^{-5}$  вследствие явления полного внутреннего отражения результирующее поле может превышать поле свободного пространства (рис. 4). При  $H = 200$  м полное внутреннее отражение

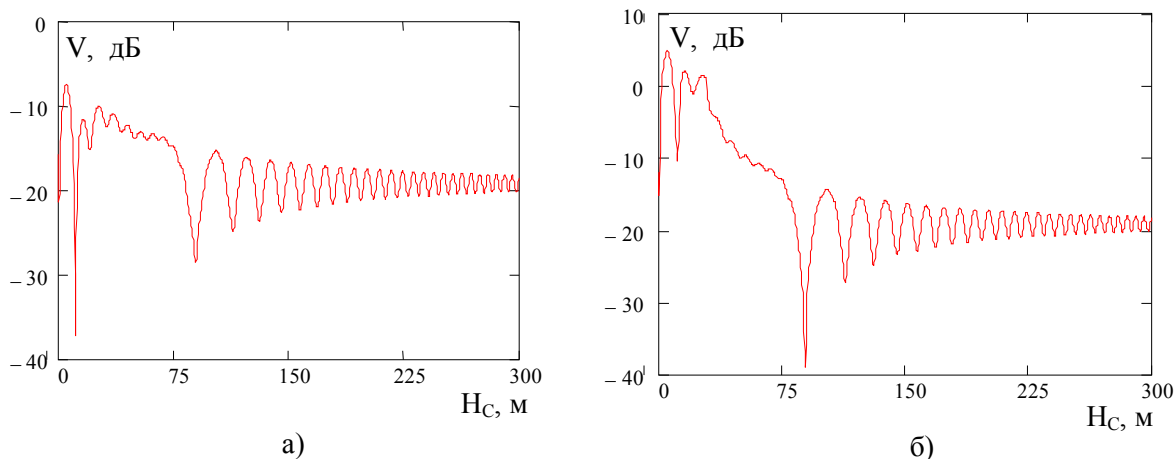


Рис. 3. Зависимость множителя ослабления от высоты слоя над краем препятствия при  $H = 50$  м. а)  $\Delta\varepsilon = 10^{-5}$ , б)  $\Delta\varepsilon = -10^{-5}$ .

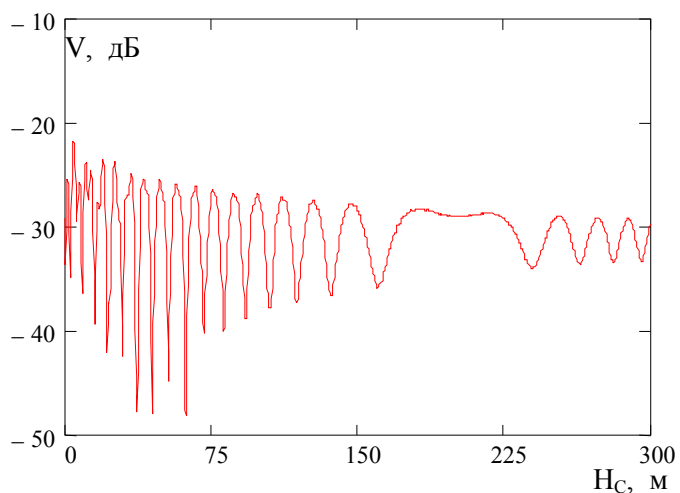


Рис. 4. Зависимость множителя ослабления от высоты слоя над краем препятствия при  $H = 200$ ,  $\Delta\epsilon = \pm 10^{-5}$ .

отсутствует и зависимости, полученные при  $\Delta\epsilon = 10^{-5}$  и  $\Delta\epsilon = -10^{-5}$  не отличаются друг от друга (рис. 4).

#### ЛИТЕРАТУРА

1. Цыдыпов Ч.Ц. Распространение ультракоротких радиоволн. – Новосибирск, Наука, 1977.
2. Дальнее тропосферное распространение ультракоротких радиоволн. – М.: Сов. радио, 1965.
3. Боровиков В.А., Кинбер В.Е. Геометрическая теория дифракции. – М.: Связь, 1978.
4. Kouyoumjian R.G., Pathak P.G. A uniform geometrical theory of diffraction for an edge in a perfectly conducting surface. Proceedings of the IEEE, 1974, vol. 62, № 11, p. 1448-1461.